

ИССЛЕДОВАНИЕ ДИНАМИЧЕСКОГО КРИТИЧЕСКОГО ПОВЕДЕНИЯ МОДЕЛЕЙ ФЕРРОМАГНИТНОГО ГАДОЛИНИЯ

A. K. Муртазаев, B. A. Мутайламов*

*Институт физики Дагестанского научного центра Российской академии наук
367003, Махачкала, Россия*

Поступила в редакцию 4 февраля 2005 г.

С помощью численного эксперимента, основанного на совместном использовании метода Монте-Карло и метода молекулярной динамики, впервые исследована критическая динамика сложных моделей ферромагнитного гадолиния, в которых наряду с сильными обменными взаимодействиями учитываются и добавочные релятивистские взаимодействия разных типов. В рамках теории динамического конечно-размерного скейлинга рассчитаны их динамические критические индексы. Определены роль изотропных диполь-дипольных взаимодействий и степень их влияния на характер критического поведения гадолиния. Полученные результаты позволяют объяснить аномальный характер динамического критического поведения гадолиния.

PACS: 75.40.Cx, 75.40.Gb, 75.40.Mg, 75.50.Cc

1. ВВЕДЕНИЕ

Исследование динамических критических свойств является одной из актуальных задач современной статистической физики и физики фазовых переходов [1–3]. К настоящему времени в этой области достигнуты существенные успехи, обусловленные главным образом теоретическими и экспериментальными исследованиями. Тем не менее построение строгой и последовательной теории динамических критических явлений на основе микроскопических гамильтонианов является одной из центральных проблем современной теории фазовых переходов и критических явлений, и она все еще далека от своего решения [1, 4].

Существующие в настоящее время представления о критической динамике были получены в основном в рамках теорий взаимодействующих мод и динамического скейлинга [1–3]. Эти две теории развивались независимо друг от друга и основаны на совершенно различных идеях. Однако значительное число результатов, полученных на их основе, достаточно хорошо согласуется друг с другом. В рамках теории динамического скейлинга Халпериным и Хоэнбергом [3] были предложены классы универсаль-

ности динамического критического поведения. Динамические классы универсальности, как оказалось, зависят не только от размерности d пространства, числа n компонент параметра порядка, радиуса характерного взаимодействия и симметрии гамильтониана, но и от законов сохранения энергии и параметра порядка [3]. Введенная ими классификация сыграла важную роль в понимании критической динамики и используется до сих пор. Гипотеза динамического скейлинга, на котором основана эта классификация, достаточно хорошо описывает картину динамического критического поведения, однако она не лишена недостатков: ее основополагающие принципы практически ничем не подтверждены, хотя предсказания, сделанные на ее основе, согласуются со многими экспериментами (но не со всеми), и, кроме того, данная классификация не является полной.

В то же время критическая динамика магнитоупорядоченных кристаллов, особенно ферромагнетиков, отличается большим разнообразием и сложностью, которая обусловлена необходимостью учета наряду с обменными взаимодействиями более слабых добавочных релятивистских взаимодействий (анизотропии, дипольного взаимодействия и др.). Наиболее существенными из них являются дипольные взаимодействия, роль которых возрастает при приближении к критической точке. Отметим, что

*E-mail: m_akai@iwt.ru

упомянутая классификация классов универсальности динамического критического поведения вообще не учитывает фактор влияния, обусловленный дипольными взаимодействиями. В последующем Малеев в своих известных работах [5–7] показал, что учет дипольных взаимодействий в теории приводит к двум вариантам динамики, обычной и жесткой, каждая из которых характеризуется своим набором критических параметров.

Экспериментальная ситуация пока не ясна из-за противоречивости имеющихся данных [4]. В действительности ситуация еще более сложная, так как в реальном материале одновременно могут существовать все факторы, влияющие на критическую динамику. В таком случае очевидно, что характер критической динамики в значительной мере зависит от соотношения действующих сил — обменных, анизотропных и дипольных. Кроме того, не следует забывать, что вблизи критической точки не только формируется то или иное критическое поведение, обусловленное соответствующими силами, но и существуют кроссоверные области, вследствие чего характер критического поведения может меняться в зависимости от того, насколько близко удалось приблизиться к критической точке. Очевидно, что реальная ситуация еще более разнообразна, так как релятивистские силы могут быть разных типов. Например, анизотропия может быть одноосной, кубической и т. д., а дипольные взаимодействия могут быть как изотропными, так и анизотропными. По-видимому, влияние совокупности всех этих факторов и является одной из серьезных причин противоречивости экспериментальных данных по исследованию динамических критических свойств магнитоупорядоченных материалов.

Очевидно, что экспериментальные исследования вряд ли смогут в ближайшее время прояснить сложившуюся противоречивую ситуацию, когда теория предсказывает одно, а эксперимент дает другое поведение, так как высокоточные исследования в критической области чрезвычайно трудно выполнить. Кроме того, почти всегда экспериментальные результаты являются суммой действия всех сил одновременно, вследствие чего практически невозможно определить вклад и степень влияния того или иного фактора. Строгое теоретическое исследование этого вопроса также маловероятно из-за чрезмерных математических трудностей.

В последнее время значительную роль в прояснении таких сложных вопросов стали играть методы вычислительной физики. По крайней мере при изучении статических критических явлений методы вы-

числительной физики позволяют рассчитать критические параметры с очень высокой степенью точности и надежности [8]. Методы вычислительной физики, такие как метод Монте-Карло и метод молекулярной динамики, обладают рядом ценных преимуществ, связанных не только с их строгой математической обоснованностью и возможностью контроля за погрешностью в рамках самих методов, но и с тем, что они позволяют определить степень влияния на результаты того или иного параметра.

Основными параметрами, определяющими критическую динамику, являются критический индекс w времени релаксации τ и динамический критический индекс z :

$$\tau \propto |\varepsilon|^{-w}, \quad \tau \propto \xi^z,$$

где

$$\varepsilon = |T - T_c|/T_c, \quad \xi = (T/T_c - 1)^{-\nu}.$$

В середине 90-х годов прошлого столетия появился метод, позволяющий с использованием теории динамического конечно-размерного скейлинга [9] и специальной схемы определения характеристической частоты ω_c рассчитать динамический критический индекс z [10–12].

В данной работе методами вычислительной физики исследована критическая динамика моделей ферромагнитного гадолиния. При этом основные вопросы, на которые мы хотели получить ответы, можно сформулировать следующим образом:

- 1) как влияют изотропные диполь-дипольные взаимодействия на характер динамического критического поведения?
- 2) различается ли критическая динамика вдоль разных направлений в некубических кристаллах?
- 3) способна ли используемая методика расчета критических параметров выявить влияние на критическую динамику столь слабых факторов, как диполь-дипольные взаимодействия?

Выбор для исследования моделей гадолиния обусловлен следующими факторами:

- 1) на характер статического критического поведения гадолиния существенное влияние оказывают изотропные диполь-дипольные взаимодействия [13, 14];
- 2) существует довольно обширный ряд экспериментальных работ по изучению критической динамики ферромагнитного гадолиния [4, 15–18], но результаты этих работ столь противоречивы, что на их основе нельзя сделать каких-либо однозначных выводов;

3) имеется ряд работ теоретического плана, в которых сделана попытка объяснить сложный характер динамического критического поведения гадолиния [19, 20];

4) динамическое критическое поведение гадолиния представляет серьезный интерес и само по себе, так как оно формируется под действием трех факторов одновременно: обменных взаимодействий, магнитной кристаллографической анизотропии и изотропных диполь-дипольных взаимодействий;

5) статическое критическое поведение гадолиния хорошо изучено как экспериментально [13], так и численно [14], что может служить хорошей базой для изучения критической динамики.

Отметим, что использованная в настоящей работе методика исследования критической динамики была ранее использована нами при изучении динамического критического поведения классической модели Гейзенберга [21] и моделей сложного реального многоподрешеточного антиферромагнетика Cr_2O_3 [21, 22].

2. МОДЕЛЬ

Гадолиний представляет собой редкоземельный металл с плотноупакованной гексагональной структурой. Фазовый переход второго рода типа порядок–беспорядок из ферромагнитного в парамагнитное состояние в гадолинии происходит при температуре Кюри $T_C = 293$ К. Ранее нами были предложены модели ферромагнитного гадолиния, которые учитывают все основные особенности этого материала [14], и тщательно изучены их статические критические свойства. Гамильтониан модели гадолиния может быть представлен следующим образом [14]:

$$H = -\frac{1}{2} \sum_{i,j} J(\mathbf{S}_i \cdot \mathbf{S}_j) - D \sum_i (\mathbf{S}_i^z)^2 - D_{dip} \sum_i \langle \mathbf{M} \rangle \cdot \mathbf{S}_i, \quad |S_i| = 1, \quad (1)$$

где первый член учитывает обменное взаимодействие каждого из ионов гадолиния с двенадцатью ближайшими соседями с параметром взаимодействия $J > 0$, второй — одноосную анизотропию типа «легкая ось» в направлении гексагональной оси с константой анизотропии D , третий — изотропное диполь-дипольное взаимодействие с постоянной взаимодействия D_{dip} , \mathbf{M} — намагниченность. Нами были рассмотрены две модели: модель I, учитывающая обменное взаимодействие и анизотропию, и

модель II, которая дополнительно учитывает и диполь-дипольное взаимодействие.

Согласно данным лабораторных экспериментов [13], соотношение между анизотропией и обменом составляет $D/J = 1.41 \cdot 10^{-4}$, а между постоянной диполь-дипольного взаимодействия и обменом — $D_{dip}/J = 1.35 \cdot 10^{-2}$. Система координат выбирается таким образом, чтобы ось z совпадала с направлением оси анизотропии, т. е. с гексагональной осью кристалла. Температуры фазового перехода брались из результатов исследования статического критического поведения данных моделей методом Монте-Карло [14].

3. МЕТОДИКА ИССЛЕДОВАНИЙ

Использованная нами методика основана на теории динамического скейлинга [1] и расчете пространственно-временных спиновых корреляционных функций для проекций спинов $k = x, y, z$:

$$C^k(\mathbf{r}_{12}, t) = \langle S_{\mathbf{r}_1}^k(t) S_{\mathbf{r}_2}^k(0) \rangle - \langle S_{\mathbf{r}_1}^k(t) \rangle \langle S_{\mathbf{r}_2}^k(0) \rangle, \quad (2)$$

где $\mathbf{r}_{1,2} = \mathbf{r}_1 - \mathbf{r}_2$, $S_{\mathbf{r}_1}^k(t)$ — спин, локализованный на узле \mathbf{r}_1 в момент времени t , $S_{\mathbf{r}_2}^k(0)$ — спин, локализованный на узле \mathbf{r}_2 в начальный момент времени ($t = 0$), угловые скобки означают усреднение по ансамблю. Вторым слагаемым в правой части выражения (2) при $T \approx T_C$ и достаточно больших временах наблюдения можно пренебречь [11].

Фурье-образ по пространству и времени корреляционной функции (2) определяет динамический структурный фактор

$$S^k(\mathbf{q}, \omega) = \int d\mathbf{r} \int_{-\infty}^{\infty} C^k(\mathbf{r}, t) \times \exp[-i(\mathbf{q} \cdot \mathbf{r} - \omega t)] dt, \quad (3)$$

где \mathbf{q} — волновой вектор, ω — частота. Отметим, что динамический структурный фактор может непосредственно измеряться в экспериментах по рассеянию нейтронов. В общем случае он пропорционален интенсивности спектральной плотности рассеянного излучения нейтронов и смешен от него по частоте на постоянную величину [1].

В соответствии с гипотезой динамического скейлинга определяется характеристическая частота как частота, которая делит пополам всю интегрируемую площадь, ограниченную кривой динамического

структурного фактора, рассматриваемого в зависимости от частоты:

$$\int_{-\omega_c(\mathbf{q}, \xi)}^{\omega_c(\mathbf{q}, \xi)} S^k(\mathbf{q}, \omega) d\omega = \frac{1}{2} \int_{-\infty}^{\infty} S^k(\mathbf{q}, \omega) d\omega. \quad (4)$$

В общем случае характеристическая частота зависит от волнового вектора \mathbf{q} и радиуса корреляции ξ . Согласно основному положению теории динамического скейлинга [1], имеем

$$\omega_c(\mathbf{q}, \xi) = q^z \Omega(q\xi), \quad (5)$$

где z — динамический критический индекс, Ω — однородная скейлинговая функция, зависящая от произведения $q\xi$; ее вид неизвестен.

Для рассматриваемых нами моделей в точке фазового перехода при конечных линейных размерах L системы и конечных временах t_{cutoff} наблюдения за системой выражение (3) для проекций спинов $k = x, y, z$ может быть представлено в виде [10]

$$S^k(\mathbf{q}, \omega) = \frac{1}{\sqrt{2\pi}} \sum_{\mathbf{r}_1, \mathbf{r}_2} \exp[i\mathbf{q} \cdot (\mathbf{r}_1 - \mathbf{r}_2)] \times \\ \times \int_{-t_{cutoff}}^{t_{cutoff}} \exp(i\omega t) C^k(\mathbf{r}_1 - \mathbf{r}_2, t) dt, \quad (6)$$

а уравнение (5) преобразуется к виду

$$\omega_c \propto L^{-z} \Omega'(qL), \quad (7)$$

где $q = 2\pi m/L$ ($m = \pm 1, \pm 2, \dots, \pm L$). В силу того что пространство в нашем случае является дискретной величиной (определяется узлами решетки), интегрирование по пространству в преобразовании Фурье (6) заменено суммированием. Соотношение (7) используется на практике для вычисления значения индекса z . Хотя вид функции Ω' неизвестен, но, поскольку она зависит не от q и L по отдельности, а от их произведения, то, сохранив его постоянным для всех линейных размеров, можно вычислить значение динамического критического индекса.

В нашем исследовании рассматриваются случаи, когда волновой вектор направлен только вдоль кристаллографических осей. Кроме того, корреляции учитываются не между отдельными спинами, а между усредненными по плоскостям значениями спинов. Если волновой вектор направить вдоль одной кристаллографической оси, то две другие оси образуют чередующиеся плоскости спинов. Значения спинов по этим плоскостям усредняются и рассматриваются корреляции между этими усредненными значениями спинов. Так, для простой кубической решетки

спиновые плоскости совпадают с кристаллографическими плоскостями. В случае гексагональной кристаллической решетки гадолиния картина носит более сложный характер.

Для расчета корреляционных функций используется система дифференциальных уравнений, описывающая движения спинов в узлах кристаллической решетки:

$$\frac{\partial \mathbf{S}_i}{\partial t} = \mathbf{S}_i \times \mathbf{h}_{loc}, \quad t = t' \frac{g\mu_B}{J\gamma}, \quad |\mathbf{S}_i| = 1, \quad (8)$$

где g — множитель Ланда, γ — гиромагнитное соотношение, \mathbf{h}_{loc} — локальное поле, действующее на i -й спин и определяемое гамильтонианом (1). Очевидно, что прежде чем решать систему уравнений (8), ансамбль необходимо привести в состояние термодинамического равновесия (в нашем случае это происходит при температуре фазового перехода), для чего использовался стандартный алгоритм метода Монте-Карло (алгоритм Метрополиса) [23].

Нами рассматривались системы с периодическими граничными условиями, с линейными размерами от $L = 4$ до $L = 18$, содержащие от $N = 128$ до $N = 11664$ спинов. Волновой вектор \mathbf{q} направлялся вдоль трех кристаллографических осей, при этом рассчитывались все три проекции спинов. Отметим, что при направлении волнового вектора вдоль оси a (или вдоль оси b) расстояния между спиновыми плоскостями не равны друг другу, тогда как в направлении оси c расстояния одинаковы и равны $c/2$. Общее время наблюдения за системой доходило до $t_{cutoff} = 130$ (здесь и далее время в условных единицах), а шаг интегрирования дифференциальных уравнений брался равным $\Delta t = 0.01$. Для численного решения системы дифференциальных уравнений (8) использовался метод Рунге–Кутта четвертого порядка точности. Число усреднений при расчете корреляционных функций (2) достигало $n = 350$. Контрольный расчет показал, что изменение ключевых параметров (например, $\Delta t = 0.005$ и $n = 700$) не оказывает заметного влияния на точность получаемых результатов.

Для каждой системы с линейными размерами L дифференциальные уравнения движения спинов решались для различных начальных равновесных конфигураций. Число таких конфигураций достигало десяти. Полученные в результате значения характеристической частоты ω_c усреднялись между собой.

Отметим, что при расчете корреляционных функций (2) нормировка нами не проводилась.

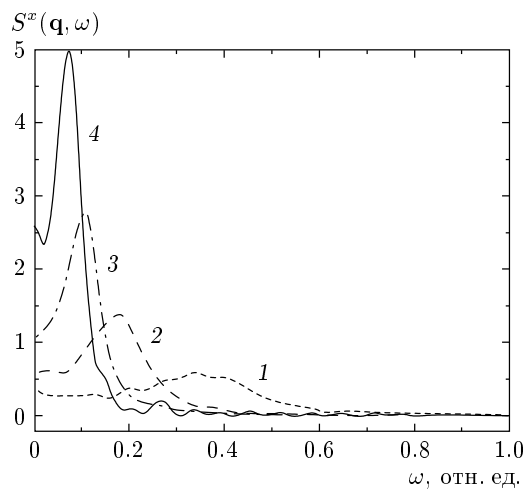


Рис. 1. Зависимость динамического структурного фактора от частоты для систем с различным числом N спинов для модели I ($qL = 2\pi$): 1 — $N = 432$; 2 — $N = 1024$; 3 — $N = 2000$; 4 — $N = 3456$

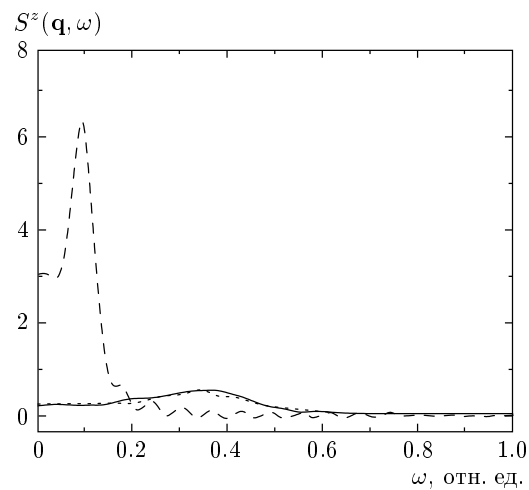


Рис. 2. Динамический структурный фактор для модели I ($N = 432$, $qL = 2\pi$) при r направлениях волнового вектора вдоль кристаллографических осей a (пунктирная кривая), b (сплошная), c (штрихованная)

4. РЕЗУЛЬТАТЫ

На рис. 1 показана характерная зависимость динамического структурного фактора $S^k(\mathbf{q}, \omega)$ от частоты ω для систем с различным числом N спинов, полученная для модели I. Значение $S^k(\mathbf{q}, \omega)$ рассчитано при направлении волнового вектора \mathbf{q} вдоль оси a по x -проекциям спинов. Из рисунка видно, что увеличение числа спинов в системе приводит к смещению максимума динамического структурного фактора в сторону меньших значений частоты ω . При этом абсолютное значение максимума возрастает. Этот рост, по-видимому, связан с отсутствием нормировки при расчете корреляционных функций (2), однако на определение характеристической частоты влияет не абсолютное значение, а форма динамического структурного фактора.

Зависимость динамического структурного фактора для модели I при различных направлениях волнового вектора \mathbf{q} , рассчитанная по z -проекциям спинов, представлена на рис. 2. Как и можно было ожидать, формы структурных факторов при направлении волнового вектора \mathbf{q} вдоль осей a и b практически полностью совпадают друг с другом. В то же время они значительно отличаются от случая, когда волновой вектор направлен вдоль гексагональной оси c .

Как меняется характеристическая частота ω_c в зависимости от линейных размеров L системы для модели I при различных направлениях волнового вектора \mathbf{q} , показано на рис. 3. Эти данные пред-

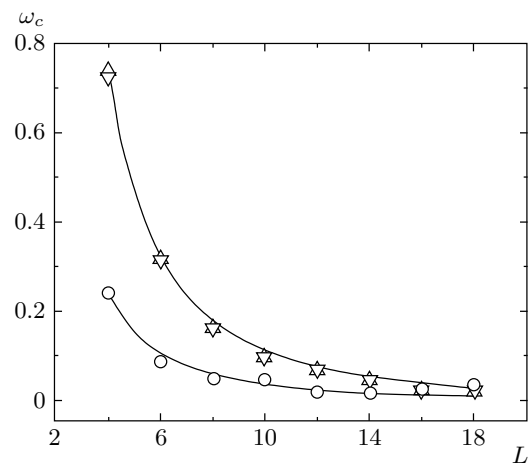


Рис. 3. Зависимость характеристической частоты от линейных размеров системы для модели I ($qL = 2\pi$) при направлениях волнового вектора вдоль кристаллографических осей a (Δ), b (∇) и c (\circ)

ставляют собой усредненные по различным начальным конфигурациям значения характеристической частоты ω_c и рассчитаны по x -проекциям спинов. Они наглядно демонстрируют идентичность структурных факторов, а соответственно и характеристических частот ω_c , полученных при направлении волнового вектора \mathbf{q} вдоль осей a и b , и их существенное отличие от значений ω_c , полученных в случае, когда

Значения динамического критического индекса z для моделей ферромагнитного гадолиния для трех направлений волнового вектора и трех проекций спинов

	$\mathbf{q} \parallel a$	$\mathbf{q} \parallel b$	$\mathbf{q} \parallel c$
Модель I			
$k = x$	2.07 ± 0.06	2.11 ± 0.06	2.28 ± 0.06
$k = y$	2.06 ± 0.06	2.08 ± 0.06	2.36 ± 0.06
$k = z$	2.30 ± 0.06	2.24 ± 0.06	2.37 ± 0.06
Модель II			
$k = x$	2.29 ± 0.06	2.25 ± 0.06	2.47 ± 0.06
$k = y$	2.26 ± 0.06	2.27 ± 0.06	2.49 ± 0.06
$k = z$	2.35 ± 0.06	2.35 ± 0.06	2.54 ± 0.06

вектор \mathbf{q} параллелен оси c .

Аналогичные зависимости для модели II качественно повторяют результаты, представленные на рис. 1–3, но количественные различия имеются.

По данным, представленным на рис. 3, с использованием соотношения (7) легко найти значение динамического критического индекса z . Определенные таким образом значения индекса z при всех возможных направлениях волнового вектора \mathbf{q} вдоль кристаллографических осей и для трех проекций спинов представлены в таблице для обеих моделей.

Для модели I значения z , вычисленные по x - и y -проекциям спинов при $\mathbf{q} \parallel a$ и $\mathbf{q} \parallel b$, хорошо согласуются с теоретически предсказанным значением для анизотропных магнетиков ($z = 2$, модель A [3]). В то же время величина динамического критического индекса, определенная по z -проекциям спинов (как при $\mathbf{q} \parallel a$, так и при $\mathbf{q} \parallel b$), принимает промежуточное значение между теоретически предсказанными значениями для анизотропных магнетиков $z = 2$ (модель A) и для изотропных ферромагнетиков $z = 2.5$ (модель J [3]). Существенно другая картина наблюдается при $\mathbf{q} \parallel c$. В этом случае величина z для всех трех проекций спинов принимает значение, лежащее между $z = 2$ (модель A) и $z = 2.5$ (модель J).

Учет изотропных диполь-дипольных взаимодействий приводит к тому, что для модели II все соответствующие значения z , рассчитанные по x - и y -проекциям спинов, увеличились примерно на 0.2, а по z -проекциям спинов — на величину от 0.05 до 0.2.

Совершенно очевидно, что различие значений динамического критического индекса z для моделей I и II обусловлено учетом в модели II изотропных диполь-дипольных взаимодействий, так как все расчеты были выполнены с соблюдением единой методики. Обратим внимание и на то, что все данные, полученные для критического индекса z , имеют вполне разумные значения.

Конечно, если придерживаться только схемы, предложенной в работе [3], то часть наших результатов трудно объяснить. Такая же ситуация возникает и с экспериментальными данными, полученными при изучении критической динамики гадолиния [4, 15–20]. Во Введении уже отмечалось, что классификация классов универсальности, предложенная в [3], не учитывает ряда факторов, влияющих на динамику магнетиков, например, наличия дипольных взаимодействий, вследствие чего возможно образование новых классов универсальности. Ситуация еще более усложняется, когда добавочных взаимодействий несколько, они разных видов и действуют одновременно на фоне сильных обменных взаимодействий. Именно такая ситуация складывается в реальном случае и в нашем случае для модели II.

Кроме того, с нашей точки зрения, в некубических кристаллах должно наблюдаться различие в динамических критических свойствах в зависимости от выбранного направления в кристалле, что и видно из данных, представленных в таблице. Это также подтверждается и в работе [20], в которой показано, что скейлинговая функция типа Ω (см. выражение (5)) имеет продольную и поперечную компоненты. Авторы работы [20] показали, что поведение продольной и поперечной компонент этой функции совершенно разное и зависит от того, в какой температурной (или кроссоверной области) находится система. Ими описаны сценарии изменения характера динамического критического поведения гейзенберговских моделей магнетиков в зависимости от температурного режима и влияния анизотропных или дипольных сил. Из-за чрезмерных теоретических трудностей рассмотрены случаи влияния анизотропных и дипольных сил только по отдельности. В нашем случае модель II учитывает их одновременно и является более сложной.

По-видимому, многие особенности наших данных являются результатом суммарного действия всех факторов одновременно. Отметим также, что аномальный характер динамического критического поведения реального гадолиния, возможно, также объясняется именно этим. Для классификации дина-

мического критического поведения гадолиния даже предлагался новый класс универсальности J^* [19].

5. ЗАКЛЮЧЕНИЕ

На основе подхода, использующего совместно метод Монте-Карло и метод молекулярной динамики, изучены динамические критические свойства двух моделей реального ферромагнитного гадолиния. При этом показано, что

- 1) критическая динамика в некубических кристаллах зависит от направления волнового вектора в кристалле;
- 2) изотропные диполь-дипольные взаимодействия оказывают существенное влияние на критическую динамику магнетиков;
- 3) по-видимому, труднообъяснимый с точки зрения теоретических представлений характер критического поведения гадолиния обусловлен одновременным действием анизотропных и дипольных сил на фоне сильных обменных взаимодействий;
- 4) очевидно, что методы вычислительной физики, которые делают только первые шаги в изучении такой сложной области физики, как динамические критические явления, позволяют не только получать ценную информацию, но и обнаруживать влияние столь слабых возмущающих факторов, как диполь-дипольные взаимодействия.

Работа выполнена при финансовой поддержке РФФИ (грант № 04-02-16487), Программы по поддержке ведущих научных школ (грант НШ-2253.2003.2), Федеральной целевой программы «Интеграция» (грант И0228). Один из авторов (А. К. М.) благодарен Фонду содействия отечественной науке.

ЛИТЕРАТУРА

1. Г. Стенли, *Фазовые переходы и критические явления*, Наука, Москва (1982).
2. Ш. Ма, *Современная теория критических явлений*, Мир, Москва (1980).
3. Р. С. Hohenberg and B. I. Halperin, Rev. Mod. Phys. **49**, 435 (1977).
4. И. К. Камилов, Х. К. Алиев, УФН **168**, 953 (1998).
5. С. В. Малеев, Препринт ЛИЯФ АН СССР № 1038 (1985).
6. С. В. Малеев, Препринт ЛИЯФ АН СССР № 1039 (1985).
7. С. В. Малеев, ЖЭТФ **66**, 1810 (1974).
8. И. К. Камилов, А. К. Муртазаев, Х. К. Алиев, УФН **169**, 773 (1999).
9. M. Suzuki, Progr. Theor. Phys. **58**, 1142 (1977).
10. K. Chen and D. P. Landau, Phys. Rev. B **49**, 3266 (1994).
11. D. P. Landau, Physica A **205**, 41 (1994).
12. D. P. Landau and M. Krech, J. Phys.: Condens. Matter **11**, R179 (1999).
13. Х. К. Алиев, И. К. Камилов, О. М. Омаров, ЖЭТФ **94**, 153 (1988).
14. А. К. Муртазаев, И. К. Камилов, М. А. Магомедов, ЖЭТФ **120**, 1535 (2001).
15. Х. К. Алиев, И. К. Камилов, Х. И. Магомедгаджиев, М.-Г. К. Омаров, ЖЭТФ **95**, 1896 (1989).
16. A. R. Chowdhury, G. S. Collins, and C. Hohenemser, Phys. Rev. B **30**, 6277 (1984).
17. G. S. Collins, A. R. Chowdhury, and C. Hohenemser, Phys. Rev. B **33**, 4747 (1986).
18. A. R. Chowdhury, G. S. Collins, and C. Hohenemser, Phys. Rev. B **33**, 5070 (1986).
19. E. Frey, F. Schwabl, S. Hennenberg et al., Phys. Rev. Lett. **79**, 5142 (1997).
20. S. Hennenberg, E. Frey, P. G. Maier et al., Phys. Rev. B **60**, 9630 (1999).
21. A. K. Murtazaev, V. A. Mutailamov, I. K. Kamilov et al., J. Magn. Magn. Mat. **258–259**, 48 (2003).
22. А. К. Муртазаев, В. А. Мутайламов, К. Ш. Хизриев, Изв. РАН, сер. физ. **68**, 734 (2004).
23. К. Биндер, *Методы Монте-Карло в статистической физике*, Мир, Москва (1982).